

水热和高温烧结对 $\text{BiPO}_4\text{: Tb}^{3+}$ 纳米晶 发光性能的影响*

杨流赛 谢爱理 杨勤桃 彭思艳

(上饶师范学院化学化工学院 上饶 334001)

摘要 通过室温共沉淀制备了 BiPO_4 和 $\text{BiPO}_4\text{: Tb}^{3+}$ 纳米晶, 研究了水热和高温烧结处理对室温合成 $\text{BiPO}_4\text{: Tb}^{3+}$ 纳米晶的相结构、形貌以及发光性能的影响。X-射线衍射(XRD)分析显示所有样品均为低温单斜相结构的 BiPO_4 , 并通过透射电镜(TEM)和红外光谱(FT-IR)进一步观察了纳米晶的形貌变化以及纳米晶表面微结构。荧光测试结果表明, 在 370 nm 激发下, 光谱显示出 Tb^{3+} 离子的特征跃迁, 且以 $^5\text{D}_4 \rightarrow ^7\text{F}_5$ 跃迁发射(544 nm)为主峰。通过进一步优化纳米晶的结晶度、表面吸附水和乙醇等因素对发光性能的影响, 获得了最佳的发光性能。

关键词 无机非金属材料, $\text{BiPO}_4\text{: Tb}^{3+}$, 水热, 高温烧结, 纳米晶, 荧光性能

分类号 TB34

文章编号 1005-3093(2016)02-0156-05

Influenced of Hydrothermal- and High temperature-Treatment on Luminescence Properties of $\text{BiPO}_4\text{: Tb}^{3+}$ Nanocrystals

YANG Liusai** XIE Aili YANG Qintao PENG Siyan

(School of Chemistry and Chemical Engineering, Shangrao Normal University, Shangrao 334001, China)

*Supported by Youth Foundation of Shangrao Normal University No. 2013QN02 and Innovative Education Program for College Students No. 098006.

Manuscript received July 21, 2015; in revised form August 29, 2015.

**To whom correspondence should be addressed, Tel: 15270501837, E-mail: yangliusai@126.com

ABSTRACT Nanocrystals of BiPO_4 and $\text{BiPO}_4\text{: Tb}^{3+}$ were prepared by a room-temperature co-precipitation method, and then followed by post hydrothermal- and high temperature-treatment. X-ray diffraction (XRD) analyses indicated that all the prepared samples are crystalline as a pure low-temperature monoclinic phase of BiPO_4 . The spectra of $\text{BiPO}_4\text{: Tb}^{3+}$ powders showed the characteristics of Tb^{3+} emission at 544 nm corresponding to the transition of $^5\text{D}_4 \rightarrow ^7\text{F}_5$ under irradiation of 370 nm light. Finally, the processing parameters were further optimized to acquire the $\text{BiPO}_4\text{: Tb}^{3+}$ to possess proper crystallinity, surface hydration layers and ethanol species, and thereby to get optimal luminescence performance for the $\text{BiPO}_4\text{: Tb}^{3+}$ powders.

KEY WORDS inorganic non-metallic materials, $\text{BiPO}_4\text{: Tb}^{3+}$, hydrothermal, annealing treatment, nanocrystals, luminescence properties

磷酸铋属于铋系半导体材料, 由于 BiPO_4 结构的基本单元 BiO_8 多面体和 PO_4 四面体连接方式的多样性, 导致其具有丰富的晶相结构, 主要有高温单斜相、低温单斜相以及六方相结构 BiPO_4 。根据文献^[1]的报道, BiPO_4 不同晶相之间可以互相转变。人

们在研究其相变过程和相变机理的同时, 也在积极探索其可能具有优异的性能。近年来, 磷酸铋独特的电子结构所带来的优异性质逐渐受到关注, 研究发现磷酸铋光催化剂在紫外光照射下可以降解有机染料^[2-4]。PAN 等^[5, 6]和 GAO 等^[7]研究表明, 磷酸铋具有光电转换效率高、活性高等优点, 在光催化降解有机物中表现出比 TiO_2 的性能更好。与此同时, 探索磷酸铋其它方面的应用性能, 成为材料实现其多功能化的关键。ZHAO 等^[8]重点研究了稀土掺杂 BiPO_4 的发光性能, 其结果表明稀土 Eu^{3+} 离子的半径与

* 上饶师范学院校级课题 2013QN02 和大学生创新教育项目 098006 资助项目。

2015 年 7 月 21 日收到初稿; 2015 年 8 月 29 日收到修改稿。

本文联系人: 杨流赛

DOI: 10.11901/1005.3093.2015.415

Bi³⁺的半径相近,可以取代Bi³⁺晶格位置,实现Eu³⁺的特征荧光发射,表明了磷酸铋不仅是优异的光催化剂,还可以作为一种良好的发光基质材料。WANG等^[9]采用室温共沉淀法制备了六方相BiPO₄: Tb³⁺绿色荧光粉。ZHENG等^[10]通过高温烧结和手工研磨调控了BiPO₄晶相结构,并研究了Eu³⁺掺杂BiPO₄的发光性能。

本文采用室温共沉淀制备了BiPO₄和BiPO₄: Tb³⁺纳米晶,分别研究了水热和高温烧结处理对室温合成BiPO₄: Tb³⁺纳米晶的相结构、形貌以及表面微结构的影响。同时,进一步考察了纳米晶的结晶度、表面吸附水和乙醇等因素对发光性能的影响,获得了最优的发光性能。

1 实验方法

1.1 主要试剂

Bi(NO₃)₃·5H₂O(国药集团, AR), Tb(NO₃)₃·6H₂O(国药集团, 纯度99.99%), NH₄H₂PO₄·2H₂O(国药集团, AR), 无水乙醇(国药集团, AR), 蒸馏水(自制)。

1.2 样品制备

BiPO₄和BiPO₄: Tb³⁺纳米晶的室温共沉淀合成: 称取4 mmol的Bi(NO₃)₃·5H₂O溶于50 mL无水乙醇中, 搅拌30 min形成白色乳浊液; 另称量4 mmol NH₄H₂PO₄加入到上述溶液中, 在室温下反应3 h得到白色的均匀悬浮液; 采用抽滤实现固液分离, 并用乙醇和蒸馏水先后洗涤, 干燥得白色粉末, 记作B1样品。重复上述操作, 制备Tb³⁺离子掺杂摩尔分数为7%的BiPO₄: Tb³⁺纳米晶, 命名为B2样品。

BiPO₄: Tb³⁺纳米晶的水热和高温烧结处理: 将室温合成的BiPO₄: Tb³⁺纳米晶分为三等份, 一份不做任何处理; 另一份在容积为100 mL的反应釜水热反应180℃下处理6 h, 干燥后样品记作B3; 剩下的一份置于程控箱式电阻炉中, 升温速度为5℃/min, 在600℃下烧结2 h处理, 冷却后得到样品B4。

1.3 材料的表征

粉末样品的物相结构通过Rigaku MiniFlex II粉末衍射仪(XRD)测试, 纳米晶的颗粒大小采用Scherrer公式 $D = 0.9\lambda / (\beta \cos \theta)$ 计算得到, 其中 λ 为所用的X射线波长(0.15418 nm), θ 是晶面的衍射角(换成弧度制 $\theta \times \pi / 360$), β 为去除仪器展宽(0.18)的半峰宽(换成弧度制 $\beta \times \pi / 180$)。样品的微观结构特性如形貌、颗粒大小及其分布、聚集状态采用JEM-2010透射电子显微镜进行观察, 加速电压为200 kV。样品的表面信息采用红外光谱(FT-IR)测试获得, 使用的仪器为Spectrum One傅里叶变换红外光谱仪。样

品制备采用KBr为背底, 样品与KBr的质量比约为50:1, 设置压片机的压力为15 MPa, 保持时间为1 min, 压片后进行测试, 其测试参数设置如下: 测试波数范围为400~4000 cm⁻¹; 分辨率为4 cm⁻¹。样品的发光性能包括激发光谱以及发射光谱通过荧光分光光度计Cary Eclipse进行采集。

2 结果与讨论

2.1 XRD 分析

图1给出BiPO₄和BiPO₄: Tb³⁺纳米晶的XRD谱图, 图中所有的衍射峰均可以指标化为低温单斜相BiPO₄ (JCPDS, No. 15-0767, 空间群为P2₁/n(14))。没有出现杂相如六方相BiPO₄的衍射峰, 表明样品均为纯相结构。根据文献报道^[11], 在室温条件下, 可以实现Eu³⁺在BiPO₄基质中的有效掺杂, 占据了Bi³⁺的晶格位置。由于Tb³⁺与Eu³⁺同属稀土离子, 物理化学性质相似, 半径相近, 所以Tb³⁺ (离子半径为0.104 nm)同样取代了晶格中Bi³⁺ (离子半径为0.117 nm)的位置, 保持低温单斜相BiPO₄结构。为了方便描述样品粒径的变化, 以最强衍射峰(120)计算得到的晶粒尺寸为准, 则样品B1、B2、B3和B4的粒径如表1, 由Scherrer公式计算粒径依次为: 22.8, 16.5, 26.9和49.1 nm。从样品B1和B2的粒径变化可以看出, 掺杂Tb³⁺离子后, BiPO₄纳米晶的粒径由22.8 nm减小到16.5 nm, 可能是由于Tb³⁺进入BiPO₄晶格中引起晶格畸变, 从而抑制晶粒长大。对比样

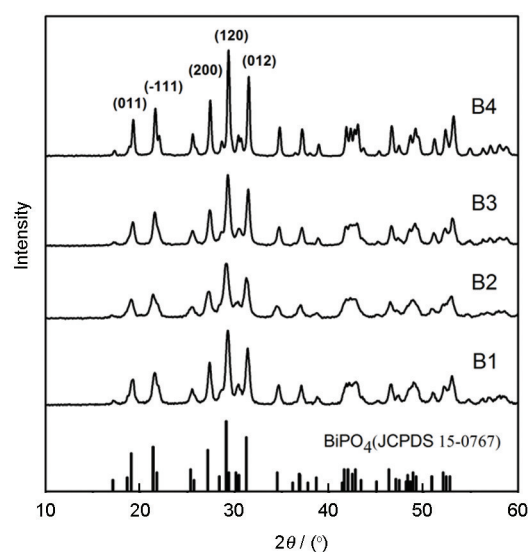


图1 BiPO₄和BiPO₄: Tb³⁺纳米晶的XRD谱图, 底部竖线为标准PDF卡片低温单斜相BiPO₄(JCPDS, No. 15-0767)的衍射峰

Fig.1 XRD spectra of BiPO₄ and BiPO₄: Tb³⁺ nanocrystals. Vertical bars at the bottom denote the standard data for low-temperature monoclinic phase LT-BiPO₄ (JCPDS, No. 15-0767)

品 B2 和 B3, 水热 180℃ 下处理 6 h 后, $\text{BiPO}_4\text{: Tb}^{3+}$ 纳米晶从 16.5 nm 长大到 26.9 nm, 这是由于多个取向不一致的单晶纳米颗粒, 在水热环境下通过定向附着生长, 使这些小晶粒生长成为一个大颗粒。在 600℃ 下烧结 2 h 处理得到样品 B4, 纳米晶的颗粒尺寸由 16.5 nm 长大到 49.1 nm, 增加了两倍多, 由于室温合成的纳米晶表面结晶性差, 颗粒容易聚集长大。由此可知, 经过水热或烧结处理后, 纳米晶的结晶性提高, 颗粒尺寸明显长大, 与图 1 观察到衍射峰

逐渐增强、半高峰宽逐渐变窄一致。

2.2 TEM 分析

为了更加直观地观察合成 BiPO_4 和 $\text{BiPO}_4\text{: Tb}^{3+}$ 纳米晶的形貌和尺寸, 对样品进行了 TEM 表征, 如图 2 所示。从图中可以看出, 室温合成的样品 B1 和 B2 具有很好的分散性, 没有发现严重的团聚, 并且均为纳米近球形形貌。前驱体 B2 经过水热处理后得到样品 B3, 纳米晶的尺寸明显长大, 为 25~45 nm 的近球形纳米颗粒, 而且结晶性明显改善。相对于

表 1 BiPO_4 和 $\text{BiPO}_4\text{: Tb}^{3+}$ 纳米晶的晶粒尺寸、形貌和发光相对强度
Table 1 Comparison of luminescence intensity, morphology and crystalsizes of BiPO_4 and $\text{BiPO}_4\text{: Tb}^{3+}$

Samples	Luminescence intensity	Morphology	D_{120} /nm	Crystal size/nm
B1	0	nano particle	22.8	24.1
B2	47.2%	nano particle	16.5	19.8
B3	64.9%	nano particle	26.9	30.6
B4	100%	nano particle	49.1	52.5

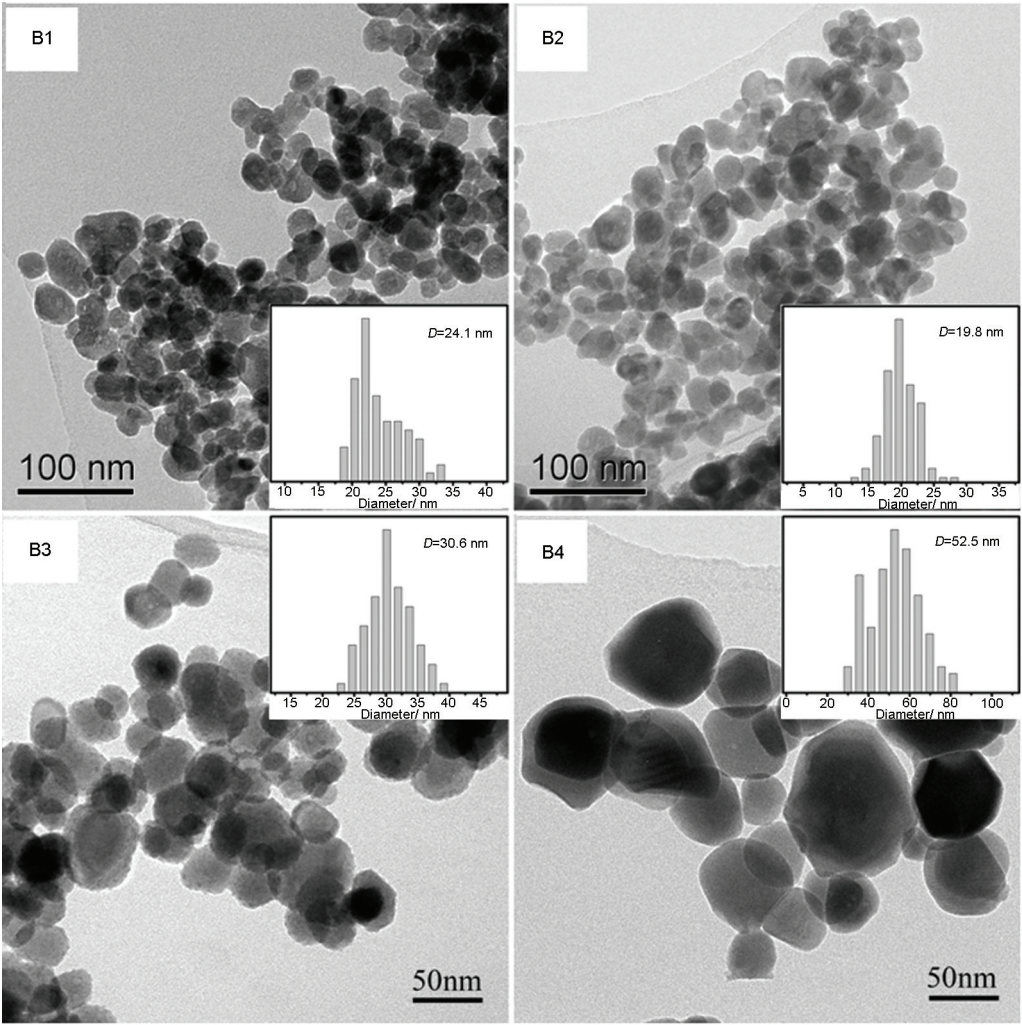


图 2 BiPO_4 和 $\text{BiPO}_4\text{: Tb}^{3+}$ 纳米晶的 TEM 图以及粒径分布图
Fig.2 TEM images and size distributions of BiPO_4 and $\text{BiPO}_4\text{: Tb}^{3+}$ nanocrystals

样品 B2, 在 600℃ 下烧结 2 h 处理得到样品 B4, 其颗粒形貌边缘变得规则清晰, 分散度明显提高, 颗粒尺寸分布为 30 ~ 80 nm 范围。通过 Nano Measurer 软件, 对样品的 TEM 结果进行分析, 获得其粒径分布图, 如图 2 所示, 并且平均粒子尺寸列在表 1 中。发现所得数据与 XRD 计算得到的结果基本吻合。说明通过这两种方式计算得到的纳米晶尺寸数据是可信的, 同时也表明组成样品的纳米颗粒为一次颗粒, 不是多个颗粒的团聚体。

2.3 FT-IR 分析

根据文献报道^[12], 在水溶液或者有机溶剂中合成的纳米晶表面容易吸附一些杂质, 比如水分子或有机物质。由于本实验选取乙醇作为反应溶剂制备低温单斜相 BiPO₄ 纳米晶, 所以纳米晶不可避免会吸附一些杂质。图 3 显示了 BiPO₄ 和 BiPO₄: Tb³⁺ 纳米晶的红外谱图。对于室温合成 BiPO₄: Tb³⁺ 的纳米晶, 位于 3464 和 1629 cm⁻¹ 比较强的吸收振动峰, 分别归属于 H-O-H 基团的伸缩和弯曲振动^[8]。同时, 在 1392 cm⁻¹ 处为表面吸附乙醇分子的 ν(H-O-H) 弯曲振动^[13]。证实 BiPO₄: Tb³⁺ 纳米晶表面存在物理吸附水和乙醇。孤立的 PO₄ 基团具有 T_d 对称性, 由于 PO₄ 基团在低温单斜相 BiPO₄ 中发生扭曲, 使得 PO₄ 基团的对称性从 T_d 降低为 C_i, 所以 PO₄ 基团的红外振动峰逐渐劈裂, 属于单斜相 BiPO₄ 的典型特征。根据文献^[8]报道, 位于 1080、1006、956 cm⁻¹ 吸收带归属于 P-O 键的非对称伸缩振动, 而位于 924 cm⁻¹ 是对称性伸缩振动; 614、551 和 528 cm⁻¹ 对应于 (O-P-O) 键的弯曲振动峰。由图 3 可知, 未掺杂 Tb³⁺ 室温合成的 BiPO₄: 纳米晶, 表面存在吸附水和乙醇。然而当室温合成 BiPO₄: Tb³⁺ 纳米晶经过水热处理后样品 B3,

表面吸附水的振动峰稍微减弱, 同时, 位于 1392 cm⁻¹ 处的弯曲振动也消失了, 说明表面吸附乙醇分子的含量可以忽略。经 600℃ 退火处理 2 h 后, BiPO₄: Tb³⁺ 纳米晶表面吸附水和乙醇的红外振动峰消失。样品的红外分析表明, 通过不同方法处理, 可以改变 BiPO₄: Tb³⁺ 纳米晶的表面微结构。由此可见水热和高温烧结在很大程度上改变了纳米晶的表面微结构。

2.4 发光性能测试

由文献^[14, 15]可知, 稀土离子可以通过室温反应掺入到 BiPO₄ 纳米晶格中, 取代 Bi³⁺ 的位置, 实现稀土离子的特征荧光发射。图 4 给出了 BiPO₄ 和 BiPO₄: Tb³⁺ 纳米晶的激发光谱和发射光谱。以 ⁵D₄ → ⁷F₅ (544 nm) 为检测发射波长, 测试得到的激发谱图如图 4(左侧) 所示。除了未掺杂 Tb³⁺ 离子的 BiPO₄ 纳米晶没有观察到激发跃迁外, 其它样品显示出相似的激发谱图, 在 280 ~ 400 nm 范围的窄峰是来自于 Tb³⁺ 的 f-f 能量转移跃迁吸收, 位于 304、318、340、352、370、377 nm 的较窄激发谱带分别归属于 Tb³⁺ 的基态 ⁷F₆ 到多重激发态 ³H₆、⁵D₀、⁵L₇、⁵L₉、⁵G₅ 和 ⁵G₆ 的本征跃迁能级^[16]。在 370 nm 激发下的发射光谱如图 4(右侧) 所示, 未掺杂 Tb³⁺ 离子的 BiPO₄ 纳米晶不产生跃迁发射, 可以看出其他掺杂 Tb³⁺ 离子纳米晶的发射光谱是相似的, 显示了 Tb³⁺ 的特征发射 ⁵D₄ → ⁷F_J (J=6-3) 跃迁, 依次为 488 nm 处的 ⁵D₄ → ⁷F₆ 态跃迁, 544 nm 处的 ⁵D₄ → ⁷F₅ 态跃迁, 586 nm 和 622 nm 范围的发射带分别归属于 ⁵D₄ → ⁷F₄ 和 ⁵D₄ → ⁷F₃ 的能级跃迁。其中, 544 nm 处的 ⁵D₄ → ⁷F₅ 态跃迁最强。荧光光谱测试表明, BiPO₄ 基质本身不发光, 同时, 掺杂稀土 Tb³⁺ 离子后, 没有观察到 Bi³⁺ 到 Tb³⁺ 的能量转移,

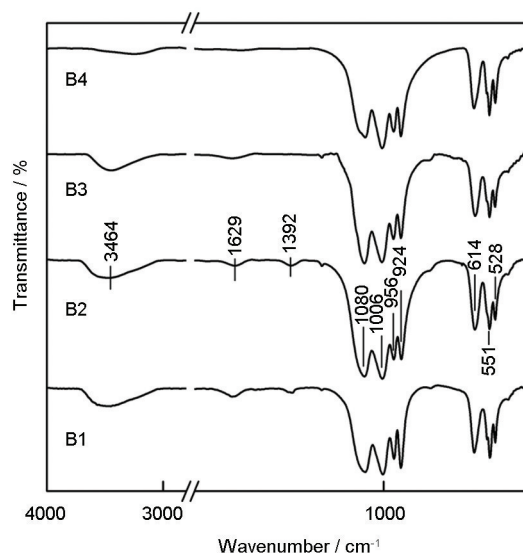


图 3 BiPO₄ 和 BiPO₄: Tb³⁺ 纳米晶的红外谱图

Fig.3 FT-IR spectra of BiPO₄ and BiPO₄: Tb³⁺ nanocrystals

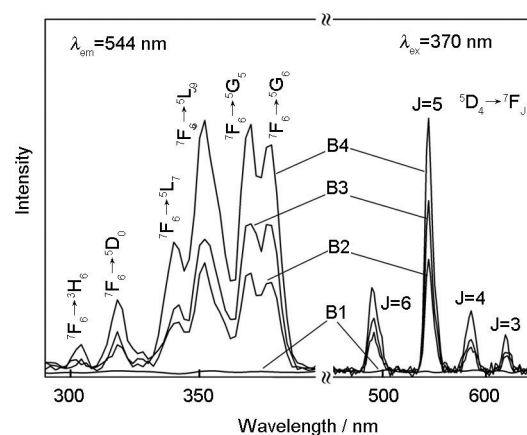


图 4 BiPO₄ 和 BiPO₄: Tb³⁺ 纳米晶的激发谱图 (λ_{em}=544 nm) 和发射谱图 (λ_{ex}=370 nm)

Fig.4 Photoluminescence excitation (λ_{em}=544 nm) and emission spectra (λ_{ex}=370 nm) of BiPO₄ and BiPO₄: Tb³⁺ nanocrystals

但通过掺杂稀土 Tb^{3+} 离子 BiPO_4 可制备绿色荧光粉。如表 1 所示, 与样品 B4 的积分强度(100%)进行对比, 样品 B1 和 B2 的发射强度分别为 47.2% 和 64.9%。不同后处理方式对 $\text{BiPO}_4:\text{Tb}^{3+}$ 纳米晶的发光强度产生影响的原因如下: 其一, 纳米晶的结晶度; 其二, 纳米晶表面吸附杂质对 Tb^{3+} 离子的荧光淬灭效应。室温合成的 $\text{BiPO}_4:\text{Tb}^{3+}$ 在水热环境中, 纳米颗粒通过晶格匹配生长进一步长大, 结晶度提高。由图 3 中观察到样品 B3 表面吸附水振动峰的减弱以及乙醇分子弯曲振动的消失, 可以证实样品 B3 纳米晶表面吸附的杂质含量有所降低。同时, $\text{BiPO}_4:\text{Tb}^{3+}$ 在高温 600°C 下烧结 2 h 处理后, 样品 B4 颗粒长大伴随着结晶度的提高, 而且高温烧结可以降低纳米晶表面吸附的杂质。由于表面吸附水和乙醇对荧光产生淬灭效应, 所以纳米晶洁净的表面有利于增强荧光性能。同时, 样品结晶度的提高可以改善发光强度。

3 结 论

通过室温共沉淀制备了低温单斜相结构的 BiPO_4 纳米晶, 发现 Tb^{3+} 离子掺杂效应引起 $\text{BiPO}_4:\text{Tb}^{3+}$ 纳米晶的尺寸减小。通过水热和高温烧结将室温合成的 $\text{BiPO}_4:\text{Tb}^{3+}$ 纳米晶进行处理, 表明样品的相结构没有发生改变, 但颗粒长大且结晶性提高。荧光测试结果表明, $\text{BiPO}_4:\text{Tb}^{3+}$ 纳米晶在 370 nm 激发下, 可以获得 Tb^{3+} 的特征发射, 其中以绿色发光为主。进而通过优化纳米晶的结晶性以及去除面吸附水和乙醇, 获得了最佳的发光性能。

参 考 文 献

- 1 B. Romero, S. Bruque, M. Aranda, Syntheses, crystal structures, and characterization of bismuth phosphates, *Inorg. Chem.*, **33**(9), 1869(1994)
- 2 LIU Yanfang, MA Xinguo, YI Xin, ZHU Yongfa, Controllable synthesis and photocatalytic performance of bismuth phosphate nanorods, *Acta Phys. Chim. Sin.*, **28**(3), 654(2012)
(刘艳芳, 马新国, 易欣, 朱永法, 磷酸铋纳米棒的可控合成及其光催化性能, *物理化学学报*, **28**(3), 654(2012))
- 3 ZHU Yanyan, LIU Yanfang, LV Yanhui, WANG Hua, LING Qiang, ZHU Yongfa, Reflux preparation and photocatalytic performance of bismuth phosphate nanorods, *Acta Phys. -Chim. Sin.*, **29**(3), 576(2013)
(朱艳艳, 刘艳芳, 吕艳辉, 王华, 凌强, 朱永法, 回流法可控合成 BiPO_4 纳米棒及其光催化性能, *物理化学学报*, **29**(3), 576(2013))
- 4 XIONG Shiwei, FANG Yanfen, LI Xinyu, LI Ruiping, HUANG Yingping, Synthesis of BiPO_4 and its photocatalytic degradation rhodamine B toxic organic pollutants, *Environ. Chem.*, **32**(10), 1856(2013)
(熊世威, 方艳芬, 李新玉, 李瑞萍, 黄应平, BiPO_4 纳米棒制备及光催化降解罗丹明 B, *环境化学*, **32**(10), 1856(2013))
- 5 C. S. Pan, Y. F. Zhu, New type of BiPO_4 oxy-acid salt photocatalyst with high photocatalytic activity on degradation of dye, *Environ. Sci. Technol.*, **44**(14), 5570(2010)
- 6 C. S. Pan, Y. F. Zhu, Size-controlled synthesis of BiPO_4 nanocrystals for enhanced photocatalytic performance, *J. Mater. Chem.*, **21**(12), 4235(2011)
- 7 E. P. Gao, W. Z. Wang, Role of graphene on the surface chemical reactions of BiPO_4 -rGO with low OH-related defects, *Nanoscale*, **5**(22), 11248(2013)
- 8 M. L. Zhao, G. S. Li, L. P. Li, L. S. Yang, J. Zheng, Structures and poly- morph- sensitive luminescence properties of $\text{BiPO}_4:\text{Eu}^{3+}$ grown in hydrothermal conditions, *Cryst. Growth Des.*, **12**(8), 3983(2012)
- 9 WANG Li, SHA Ren, YUAN Guangwei, JIA Qiannan, Co-precipitation synthesis and luminescence properties of $\text{BiPO}_4:\text{Tb}^{3+}$ novel green phosphors, *Chinese Rare Earths*, **35**(1), 71(2014)
(王丽, 莎仁, 苑光伟, 贾倩南, Tb^{3+} 掺杂 BiPO_4 基绿色荧光粉的共沉淀法合成及发光性质, *稀土*, **35**(1), 71(2014))
- 10 ZHENG Yunlong, ZHAO Minglei, LI Liping, LI Guangshe, ZHANG Xitian, *Chem. J. Chinese Univ.*, **35**(5), 921(2014)
(郑云龙, 赵明磊, 李莉萍, 李广社, 张喜田, $\text{Bi}_{1-x}\text{Eu}_x\text{PO}_4$ 纳米荧光粉的制备、晶相调控及发光性能, *高等学校化学学报*, **35**(5), 921(2014))
- 11 C. C. Fu, G. S. Li, M. L. Zhao, L. S. Yang, J. Zheng, L. P. Li, Solvent-driven room-temperature synthesis of nanoparticles $\text{BiPO}_4:\text{Eu}^{3+}$, *Inorg. Chem.*, **51**(10), 5869(2012)
- 12 L. S. Yang, G. S. Li, M. L. Zhao, J. Zheng, D. Luo, Y. L. Zheng, L. P. Li, Intrinsic reason for the morphology dependence of luminescent behavior: a case study with $\text{GdVO}_4:\text{Eu}^{3+}$ nanocrystals, *Eur. J. Inorg. Chem.*, **2013**(35), 5999(2013)
- 13 P. Arunkumar, C. Jayajothi, D. Jeyakumar, N. Lakshminarasimhan, Structure-property relations in hexagonal and monoclinic $\text{BiPO}_4:\text{Eu}^{3+}$ nanoparticles synthesized by polyol-mediated method, *RSC Adv.*, **2**(4), 1477(2012)
- 14 M. L. Zhao, G. S. Li, J. Zheng, L. P. Li, H. Wang, L. S. Yang, Preparation and polymorph-sensitive luminescence properties of $\text{BiPO}_4:\text{Eu}$, Part I: room-temperature reaction followed by a heat treatment, *Cryst. Eng. Comm.*, **13**(20), 6251(2011)
- 15 M. L. Zhao, L. P. Li, J. Zheng, L. S. Yang, G. S. Li, Is BiPO_4 a better luminescent host? A case study on doping and annealing effects, *Inorg. Chem.*, **52**(2), 807(2013)
- 16 R. Y. Yang, C. T. Pan, K. H. Chen, C. Y. Hung, Microstructure, luminescence and thermal stability properties of $\text{NaSrPO}_4:\text{Tb}^{3+}$ phosphors with various doping concentrations prepared using conventional solid-state sintering, *Opt. Mater.*, **35**(12), 2183(2013)